

東北大学 学生員 ○来原 徹郎  
 東北大学 正員 尾坂 方夫  
 東北大学 正員 鈴木 基行

## 1. まえがき

構造物の各種限界状態に対する安全性を確率統計理論を用いて解析する手法は、その理論の厳密さと安全性の確保の仕方により水準Ⅲ,Ⅱ,Ⅰに大別することができる。水準Ⅲは完全な確率論的方法であり、水準Ⅰはいわゆる部分安全系数法である。これに対し水準Ⅱは、確率論理や不確実さの記述において単純化あるいは近似的取り扱いを行った方法で、限界状態に対する安全性の評価検証は安全性指標 $\beta$ 又はこれと等価な尺度を用いて行い、さらに各構造変数に用いられる部分安全系数は安全性指標に対応して求めることができる。しかし水準Ⅱの方法により得られる部分安全系数は、限界状態式( $\phi(\cdot)$ 関数)の中に含まれるすべての構造変数のパラメーターの関数であり、設計条件ごとに変化する。部分安全系数設計法がより実用的なものである為には、1組の部分安全系数が広範囲の設計条件に対して適用できると共に、目標とする信頼性レベルとのズレが小さなものでなければならない。

本研究は、構造変数を強度を表わす確率変数 $R$ 及び荷重を表わす確率変数 $F$ の2変数とし、4種類の $\phi(\cdot)$ 関数について実用的部安全系数評価の可能性を検討したものである。

## 2. 理論の展開及び結果

$\phi(\cdot)$ 関数としては次の4式を用いた。

$$\textcircled{a} R-F=0 \quad \textcircled{b} \ln R-F=0 \quad \textcircled{c} R-\ln F=0 \quad \textcircled{d} \ln R-\ln F=0$$

以下では\textcircled{d}式を用いて理論の展開を行ってゆく。

$R$ 及び $F$ の平均値、変動係数を $\bar{R}, \bar{F}, V_R, V_F$ とする。

すると $P(\phi(R)=0)$ の平均値 $\bar{\phi}$ 及び変動係数 $V_{\phi}$ は\textcircled{1},\textcircled{2}式のように近似的に表わすことができる。

$$\bar{\phi} = \ln \bar{R} \quad \textcircled{1} \quad V_{\phi} = V_R / \ln \bar{R} \quad \textcircled{2}$$

この変換式を用い、さらに\textcircled{3},\textcircled{4}式により標準化を行うと、\textcircled{5}式は\textcircled{6}式のようになる。

$$\bar{\phi} = (\bar{P} - \bar{F}) / \sigma_P \quad \textcircled{3} \quad f = (F - \bar{F}) / \sigma_F \quad \textcircled{4}$$

$$\bar{\phi} = S \cdot \exp\{-f \cdot V_F\} - (1 + f \cdot V_F) = 0 \quad \textcircled{5}$$

ここで $\sigma_P, \sigma_F$ は $P, F$ の標準偏差であり、 $S (= \bar{R} / \bar{S})$ は中央安全率である。

標準化空間における原点から $\phi(\cdot)=0$ までの距離は $\sqrt{\bar{\phi}^2 + f^2}$ であり、Hasofer, Lind の定義による安全性指標 $\beta^*$ は\textcircled{6}式で与えられる。

$$\beta^* = \min \{ \sqrt{\bar{\phi}^2 + f^2} \} \quad \textcircled{6}$$

\textcircled{5}式及び\textcircled{6}式を用いることにより、 $\beta^*$ の値ごとに $V_F-S$ の関係を求めることができる。図1の実線は、 $\beta^*=4$ の場合の $V_F-S$ 関係を示したものである。

ここで部分安全系数を\textcircled{7},\textcircled{8}式のように与える。

$$\alpha_R = R_e / R^* \quad \textcircled{7} \quad \alpha_F = F^* / F_e \quad \textcircled{8}$$

$R_e, F_e$ は強度及び荷重の特性値であり、強度の下5% fractile 及び荷重の上5% fractile を用いると\textcircled{9},\textcircled{10}式のようになる。

$$R_e = \bar{R} \cdot \exp\{-1.645 V_R\} \quad \textcircled{9} \quad F_e = \bar{F} \cdot (1 + 1.645 V_F) \quad \textcircled{10}$$

$R^*, F^*$ はそれぞれの設計値で、 $R^* = F^*$ であり、 $\beta^*$ を与える点の値で $f^*$ を用いて\textcircled{11},\textcircled{12}式のように表わせる。

$$R^* = \bar{R} \cdot \exp\{f^* \cdot V_R\} \quad \textcircled{11} \quad F^* = \bar{F} \cdot (1 + f^* \cdot V_F) \quad \textcircled{12}$$

\textcircled{9},\textcircled{10}式を\textcircled{11}式に、\textcircled{11},\textcircled{12}式を\textcircled{13}式にそれぞれ代入することにより、各々の部分安全系数は\textcircled{13},\textcircled{14}式で与えられる。

$$\alpha_R = \exp\{-f^* \cdot V_R - 1.645 V_R\} \quad \textcircled{13} \quad \alpha_F = (1 + f^* \cdot V_F) / (1 + 1.645 V_F) \quad \textcircled{14}$$

このようにして求めた部分安全系数を図2に実線で示す。

次に各 $V_F$ ごとに得られた $V_F-S$ の関係を\textcircled{15}式を用いて線形近似する。

$$S = \alpha(V_F) \cdot (1 + b \cdot V_F) \quad \textcircled{15}$$

$\alpha(V_F)$ は各 $V_F$ ごとに求め、 $b$ は $V_F$ によらず定数とする。このようにして線形近似した $V_F-S$ の関係を図1に点線で示す。

ここで $\alpha$ 及び $\alpha_F$ なる量を\textcircled{16},\textcircled{17}式のように定義する。

$$\alpha_R = \bar{\alpha}_R (V_F) \quad \textcircled{16} \quad \alpha_F = \bar{\alpha}_F (V_F) \quad \textcircled{17}$$

$\bar{\alpha}_F$ は中央安全率に等しくなるので、\textcircled{15}式に代入することにより\textcircled{18}式を得る。

$$\alpha_R \cdot \alpha_F = \alpha(V_F) \cdot (1 + b \cdot V_F) \quad \textcircled{18}$$

これより  $\gamma_R, \gamma_F$  は ⑪, ⑫ 式のように表わすことができる。

$$\gamma_R = \alpha(\sqrt{R}) \quad \text{--- ⑪}$$

$$\gamma_F = (1 + b \cdot \sqrt{F}) \quad \text{--- ⑫}$$

⑬, ⑭ 式及び ⑯, ⑰ 式をそれぞれ用いると、 $\gamma_R, \gamma_F$  は ⑪, ⑫ 式のようになる。

$$\gamma_R = \alpha(\sqrt{R}) \exp\{-1.645\sqrt{F}\} \quad \text{--- ⑯}$$

$$\gamma_F = (1 + b \cdot \sqrt{F}) / (1 + 1.645\sqrt{F}) \quad \text{--- ⑰}$$

⑯, ⑰ 式を用いることにより得られた結果を図 2 に点線で示す。線形近似前には  $\gamma_R, \gamma_F$  が  $\sqrt{R}, \sqrt{F}$  両者の実数である、たのに対し、線形近似後には  $\gamma_R$  は  $\sqrt{R}$  のみ、 $\gamma_F$  は  $\sqrt{F}$  のみの実数となっていることがわかる。

これまで限界状態式が  $g_C = \ln R - F = 0$  で表わされる場合について述べてきたが、他の  $g_C$  の関数については ⑪, ⑫ 式により得られる部分安全係数を図 3, 4, 5 に示す。又各  $g_C$  の関数の線形近似後の部分安全係数を用いた場合、安全性指標  $\beta^*$  が目標とする信頼性レベル  $\beta_T^* = 4$  からどの程度ズレるかを表 1 に示す。表 1 には強度及び荷重の確率分布形を正規分布又は対数

表 1 線形近似による  $\beta^*$  のズレ ( $\beta_T^* = 4$ )

正規分布とし、数値積分を行うことにより求めた破壊確率も併せて示した。

### 3.まとめ

得られた結果をまとめると次のようになる。

・各  $g_C$  の関数について  $\sqrt{R} - S$  の関係を  $S = \alpha(\sqrt{R}) \cdot (1 + b \cdot \sqrt{F})$  の形で線形近似し、 $\gamma_R = \gamma_R(\sqrt{R}), \gamma_F = \gamma_F(\sqrt{F})$  の形で表わした場合、安全性指標  $\beta^*$  は表 1 のような範囲となり、各  $g_C$  の関数とも比較的目標とする信頼性レベル  $\beta_T^* = 4$  からのズレは小さかった。

・ $g_C$  の関数の違いにより  $\gamma_R, \gamma_F$  は異った値となる。特に荷重を  $\ln F$  とした場合  $\gamma_F$  は非常に大きな値となり、逆に  $\gamma_R$  の値は 1.0 以下となる。

以上  $g_C$  の関数が強度と荷重の 2 变数で表わされる場合について、各变数に対する部分安全係数を評価してきたが、 $g_C$  の関数の違いにより部分安全係数はかなり異ったものとなる為、強度及び荷重の分布形についての考察が必要である。さらに強度や荷重が複数個の構造变数で与えられる場合、それぞれの構造变数に対する部分安全係数を、信頼性レベルの目標値に対するズレが小さくかつ広範囲にわたって適用できるよう評価する方法について検討する必要がある。

### 参考文献

- PINTO: DISCRETIZATION FROM A LEVEL II METHOD  
伊藤学, 尾坂芳夫: 設計論  
土木工学大系 15, 彰国社

図 1  $\sqrt{F} - S$  図表

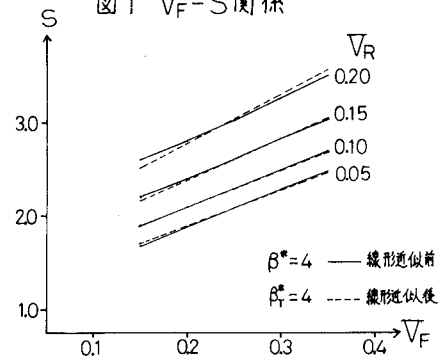


図 2 部分安全係数 ( $g_C = \ln R - F = 0$ )

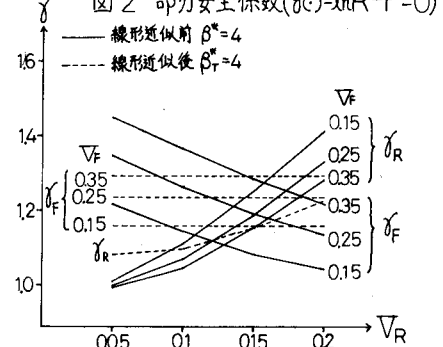


図 3 部分安全係数 ( $g_C = R - F = 0$ )

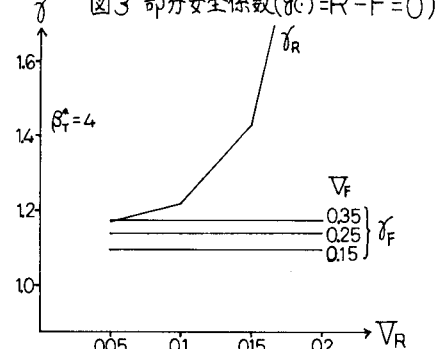


図 4 部分安全係数 ( $g_C = R - \ln F = 0$ )

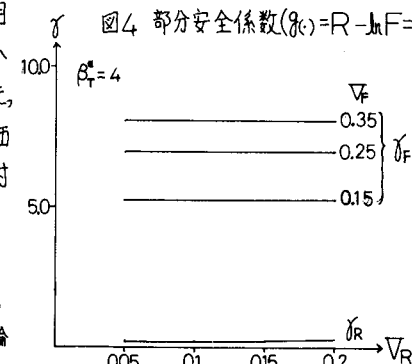


図 5 部分安全係数 ( $g_C = \ln R - \ln F = 0$ )

